

## ДОСЛІДЖЕННЯ СТАТИЧНИХ ЕЛЕКТРОМЕХАНІЧНИХ ВЛАСТИВОСТЕЙ АСИНХРОННОГО ДВИГУНА З КОРОТКОЗАМКНУТИМ РОТОРОМ ПРИ ЧАСТОТНОМУ РЕГУЛЮВАННІ КУТОВОЇ ШВИДКОСТІ

Овчаренко В. О.

*В статті досліджується статичні режими роботи при різних частотах живильної напруги за допомогою перетворювача частоти.*

**Постановка проблеми.** У сучасних автоматизованих частотно-регульованих електроприводах, призначених для різних галузей промисловості і сільського господарства, живлення і керування асинхронними двигунами відбувається від тиристорних перетворювачів. Для виявлення й аналізу техніко-економічних характеристик, енергетичних і експлуатаційних показників тиристорного асинхронного електропривода з частотним керуванням необхідно в першу чергу дослідити статичні властивості двигуна, з огляду на характер навантаження на його валу і закони керування. Це дозволить сформулювати відповідні вимоги до тиристорного перетворювача частоти, зокрема до вибору його типу, схеми і потужності, для раціонального проектування й експлуатації тиристорної установки.

**Аналіз останніх досліджень і публікацій.** Аналіз опублікованих матеріалів показує, що в існуючих роботах статичні режими частотно-регульованого електропривода при несинусоїдальній симетричній напрузі живлення і струмі, вивчені для окремих випадків навантаження й особливо при законі керування, що забезпечує постійність статичного моменту і номінальний рівень магнітного потоку двигуна. Однак з теоретичної і практичної точки зору інтерес представляють подальші дослідження оптимального закону керування при мінімальних втратах, що забезпечують поліпшенні енергетичні, техніко-економічні й експлуатаційні показники асинхронного електродвигуна у системах частотно-регульованого електропривода.

**Основні матеріали дослідження.** Кутова швидкість магнітного потоку асинхронного двигуна:

$$\omega_0 = \frac{2 \cdot \pi \cdot f_1}{P}, \quad (1)$$

де  $f_1$  - частота струму статора;

$P$  - число пар полюсів двигуна.

Змінюючи  $f_1$ , можна регулювати швидкість  $\omega_0$ , а отже і швидкість ротора асинхронного двигуна  $\omega$ .

Жорсткість робочої частини механічної характеристики у відносних одиницях  $\beta_*$  при заданій частоті живильної напруги  $f_1$ , визначається величиною ковзання  $S$ :

$$\beta_* = -\frac{1}{S} \quad (2)$$

Перевантажувальна здатність двигуна:

$$\lambda = \frac{M_{\max}}{M}, \quad (3)$$

де  $M_{\max}$  – максимальний момент асинхронного двигуна, що залежить від відношення напруги  $U$  до частоти  $f$  живильного струму і параметрів двигуна;

$M$  - необхідний момент.

Діапазон регулювання швидкості визначається властивостями перетворювача частоти і двигуна.

Як відомо, у сталому режимі роботи електромагнітний момент асинхронного двигуна пропорційний квадрату живильної напруги. Тому при заданому значенні перевантажувальної здатності:

$$\lambda = \frac{M_{\max}}{M_{\text{ном}}} \quad (4)$$

При зміні частоти струму необхідно одночасно змінювати і напругу  $U$  за законом:

$$\frac{U}{U_{\text{ном}}} = \frac{f}{f_{\text{ном}}} = \sqrt{\frac{M}{M_{\text{ном}}}} \quad (5)$$

Якщо напругу не змінювати, то із зниженням частоти і відповідно зі зменшенням індуктивного опору статорної обмотки росте струм холостого ходу і збільшуються втрати в сталі, тобто знижуються енергетичні показники двигуна.

Слід зазначити, що формула (5) виведена при знехтуванні активним опором статора  $R_1$ . Якщо ж врахувати останнє, то закон регулювання при  $\lambda = \text{const}$  повинен бути:

$$\frac{\dot{U} - R_1 \cdot \dot{I}_1}{U_{\text{ном}}} = \frac{f}{f_{\text{ном}}}, \quad (6)$$

де  $R_1$  і  $I_1$  - опір і струм статора  $M1$ . Це співвідношення з достатнім ступенем точності підтримується в тиристорному перетворювачі частоти ТПЧ-40.

**Мета статті.** Дослідити статичні електромеханічні властивості асинхронного двигуна з короткозамкнутим ротором при частотному регулюванні кутової швидкості. У експериментальну установку (рис.1) входять: тиристорний перетворювач частоти ТПЧ; випробуваний асинхронний двигун  $M1$  і навантажувальний пристрій.

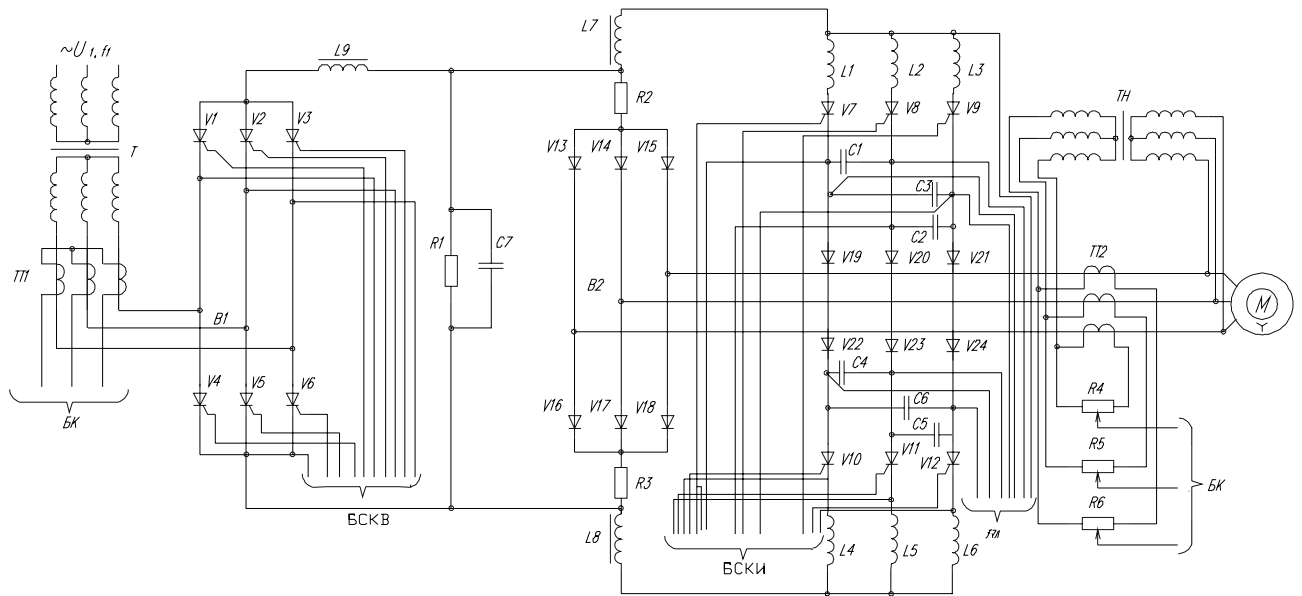


Рисунок 1 – Експериментальна установка

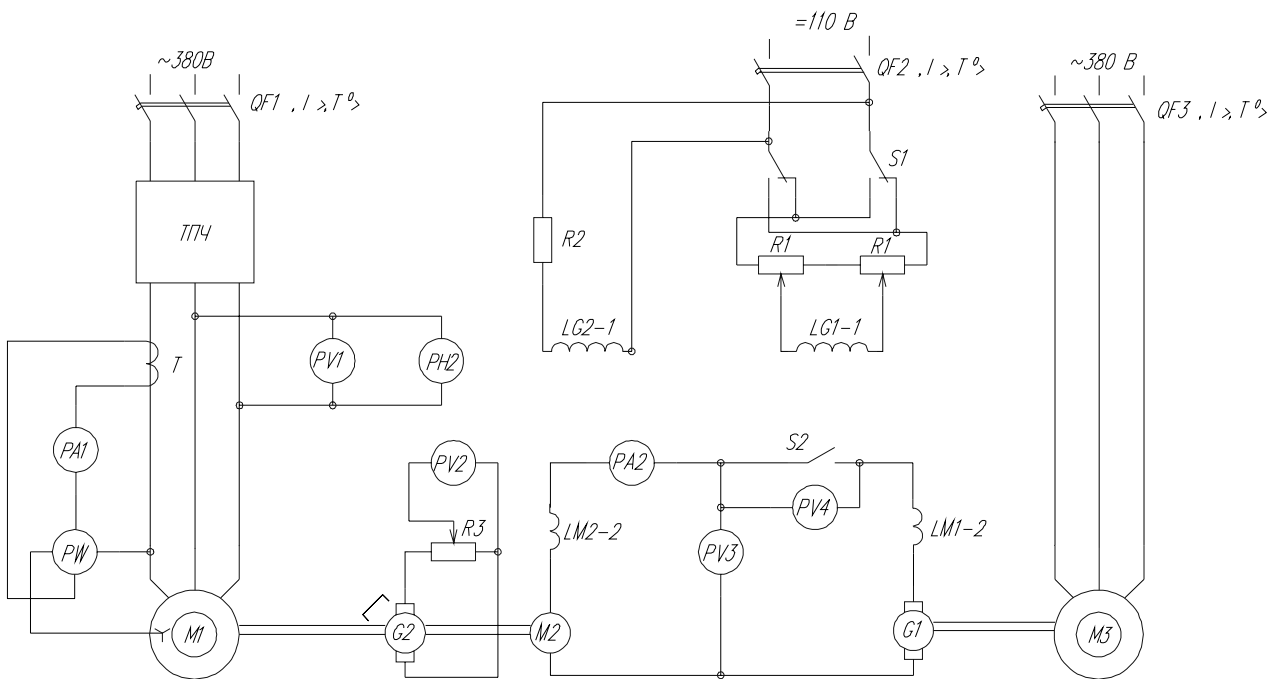


Рисунок 2 – Силова частина тиристорного перетворювача

Для виміру кутової швидкості  $M1$  використовується тахогенератор  $G2$ . Силова частина тиристорного перетворювача частоти з проміжною ланкою постійного струму (рис.2) складається з керованого випрямляча  $B1$ , автономного інвертора  $I$ , фільтра, що згладжує пульсації випрямленої напруги і компенсує реактивну енергію навантаження, і некерованого випрямляча  $B2$  для створення ланцюга реактивному струму двигуна. У ТПЧ із проміжною ланкою постійного струму здійснюється дворазове перетворення електричної енергії.

Керований перетворювач  $B1$  випрямляє змінний струм промислової частоти 50 Гц у постійний і визначає амплітуду напруги змінного струму на вихіді інвертора, інвертор перетворить постійний струм у змінний струм заданої частоти.

При комутації тиристорів інвертора відстаючий по фазі від напруги реактивний струм, обумовлений е.р.с. самоіндукції обмотки статора двигуна  $M1$ , замикається через відповідні вентилі випрямляча  $B2$ , підживлюючи конденсатор фільтра  $C7$ . Керування перетворювачем  $B1$  здійснюється блоком системи

керування *BCKB*, що подає імпульси напруги на керуючі електроди тиристорів  $V1 - V6$ .

Комутиція тиристорів інвертора здійснюється конденсаторами  $C1 - C6$ . При відкриванні чергового тиристора шляхом подачі напруги на його керуючий електрод попередній тиристор, що знаходиться в роботі, закривається, тому що через нього починає проходити струм розряду відповідного конденсатора, напруга на якому значно вище, ніж напруга на замикаючому тиристорі, і спрямована зустрічно.

Час і струм розряду конденсаторів визначається величиною індуктивностей дроселів  $L7$  і  $L8$ . Відкривання вентилів моста  $B2$  відбувається за рахунок е.р.с. самоіндукції статора двигуна в ті інтервали часу, коли струм і напруга фази двигуна мають протилежні знаки. Опори резисторів  $R2$  і  $R3$  зменшують струм вентилів.

Кут відкривання тиристорів випрямляча  $B1$  реалізується блоком системи керування випрямлячем *BCKB*, автономного інвертора – блоком системи керування інвертором *BCKI*. Значення вихідної частоти перетворювача визначається потенціометром у блоці керування  $B7$ . Ручка движка потенціометра виведена на лицьову сторону дверей *ТПЧ* (регулятор швидкості). Блок керування автоматично підтримує сталість значень величини:

$$\frac{U - R_1 \cdot I_1}{f}.$$

Вимір величини, пропорційної  $U - R_1 \cdot I_1$ , виконується спеціальним датчиком.

Навантажувальний пристрій (рис.1) являє собою машини постійного струму незалежного збудження  $M2$ , магнітний потік якої підтримується постійним, а струм якоря залежить від різниці е.р.с. машин  $M2$  і  $G1$ . Генератор  $G1$  обертається асинхронним двигуном  $M3$ . Впливаючи на величину і напрямок е.р.с.  $G1$  за допомогою магнітного потоку збудження та дільника напруги  $R1$  і перемикача  $S1$ , можна змінювати величину і напругу струму якоря  $M2$  і, отже, момент на її валу, тобто навантаження випробуваного асинхронного двигуна  $M1$ .

Щоб уникнути ударного узгодженого включення е.р.с.  $M2$  і  $G1$  чи замикання якірного ланцюга цих машин при відсутності порушення однієї з машин у якірному ланцюзі встановлений рубильник (автомат)  $S2$ , який замикають тільки при рівності і зустрічно спрямованих е.р.с. машин  $M2$  і  $G1$ .

Для контролю різниці цих е.р.с. ввімкнений вольтметр  $PV4$  (так званий "нульовий вольтметр").

Коефіцієнт потужності асинхронного двигуна визначається по формулі:

$$\cos \varphi_i = \frac{P_{ai}}{P_{li}}, \quad (11)$$

де  $P_a = 3P_{a\phi}$  – активна потужність на затисках  $M$ ;

$P_{a\phi}$  – активна потужність фази  $M1$ ;

$P_1 = \sqrt{3} \cdot U_1 \cdot I_1$  – повна потужність  $M1$ .

Коефіцієнт корисної дії розраховується по формулі:

$$\eta = \frac{M_{ei} \cdot \omega_i}{P_{ai}}, \quad (12)$$

К.К.Д. досягає максимуму при рівності змінних втрат і втрат на збудження. Коефіцієнт потужності росте і досягає максимуму при малих значеннях потоку і значно зменшується при його збільшенні внаслідок зменшення активної складової струму статора і росту струму намагнічування.

**Висновки.** Аналіз способів регулювання швидкості обертання приводів приводить до висновку щодо перспективності частотного регулювання частою обертання електроприводів за рахунок плавності регулювання, достатньо великого діапазону регулювання швидкості і значного зниження енергоспоживання.

## Список використаних джерел

1. Чиликин М. Г. Основы автоматизированного электропривода / [Чиликин М. Г., Соколов М. М., Терехов В. М., Шинянский А. В.] – М.: Энергия, 1979.
2. Чиликин М. Г. Теория автоматизированного электропривода / М. Г. Чиликин, В. И. Ключев, А. С. Сандлер – М.: Энергия, 1979. – 616.

## Аннотация

**ИССЛЕДОВАНИЕ СТАТИЧЕСКИХ  
ЭЛЕКТРОМЕХАНИЧЕСКИХ СВОЙСТВ  
АСИНХРОННОГО ДВИГАТЕЛЯ С  
КОРТОКЗАМКНУТЫМ РОТОРОМ ПРИ  
ЧАСТОТНОМ РЕГУЛИРОВАНИИ УГОЛОВОЙ  
СКОРОСТИ**

Овчаренко В. А.

*В статье исследуются статические режимы работы при разных частотах напряжения с помощью преобразователя частоты.*

## Abstract

**INVESTIGATION STATICALLY  
ELECTROMECHANIC CHARACTERISTIC  
ANISOCHRONOUS ENGINE WITH SHORDED  
ROTOR UNDER FREQUENCY REGULATION OF  
THE ANGULAR VELOCITY**

V. Ovcharenko

*In article under investigation statically of working are researched at voltage frequency miscellaneous by means of converter of the frequency.*